

I-5 ねじりを受けるHはりの弾塑性々状

広島大学工学部 正員 大村 裕
 石川島播磨重工 " 石田 泰雄
 広島大学大学院 学生員 ○林 博明

1. まえがき

近来、ねじりを受ける薄肉開断面はりが構造物に多く使用され、その挙動を知ることが必要となってきた。そこで、本研究では、Hはりのねじり載荷試験結果を弾塑性々状について、および、有限要素法による弾性解析の結果について述べる。

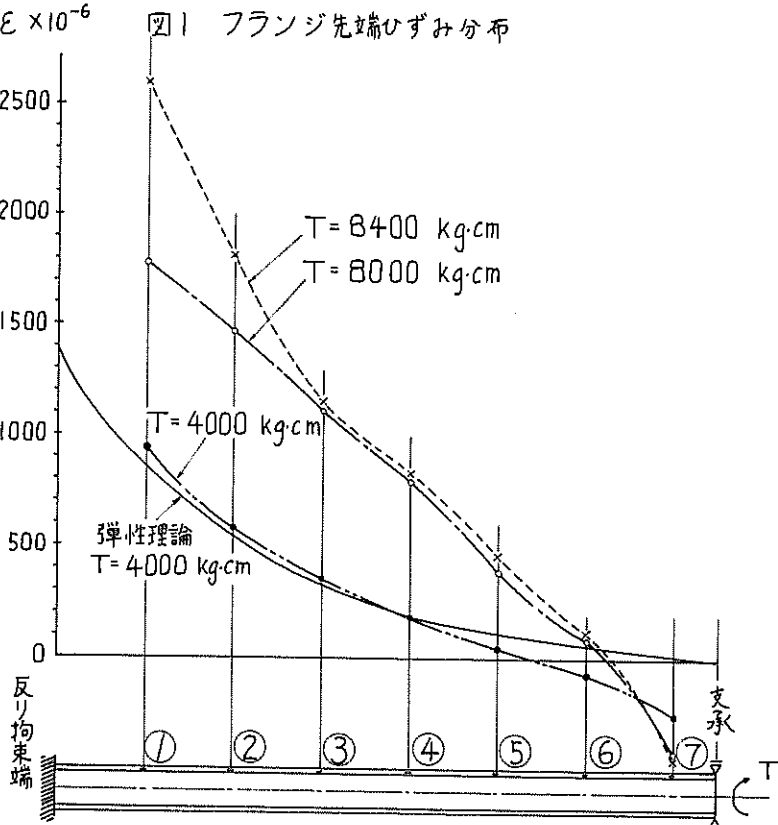
2. 模型実験結果

供試体は公称 $100 \times 50 \times 5 \times 7$ のH型断面であり、スパンは 150cm 、荷重はスパン中央にねじりモーメント T を載荷する。供試体の弾性係数 $E = 2.2 \times 10^6 \text{ kg/cm}^2$ 、ボアリントピュ $\nu = 0.272$ である。

実験から得た降伏点荷重 T_y は、 $T_y = 7040 \text{ kg}\cdot\text{cm}$ である。そして、降伏点荷重の $2/3$ の荷重から弾性挙動を示さなくなり、除々塑性変形を生じる。また、降伏点における回転角 ϕ_y は、弾性比例限度の回転角 ϕ_e の2倍近くとなり、 $\phi_y = 0.352\text{rad}$ となる。ねじりモーメント T と回転角 ϕ の関係から、 $T-\phi$ 曲線は降伏後ほぼ一定の勾配で上昇することがわかる。

反り拘束端近傍において、フランジ先端の引張側の軸方向ひずみとねじりモーメントを与える荷重 P との関係から、 $P-\phi$ 曲線は降伏点附近で勾配がやや急くなることがわかる。図1は、フランジ先端における軸方向ひずみの分布を示したもの。 $E \times 10^{-6}$

図1せう、弾性域 ($T = 4000 \text{ kg}\cdot\text{cm}$) では①～④の範囲でちひて弾性理論と一致しているが、④～⑦の範囲では支承部分の反り拘束の影響が表わされている。また、 $T = 8000 \text{ kg}\cdot\text{cm}$ では②～⑦の弾性域の部分でひずみは大きくなり、軸方向ひずみの分布は直線的にならぬ。さらに、荷重を少し上げると ($T = 8400 \text{ kg}\cdot\text{cm}$)、塑性域の部分 (①～②) のひずみは急激に大きくなる。これに対して、まだ弾性域である②～⑦の部分では、



ひずみはあまり変化しない。

3. 有限要素法によるHはりの弾性解析

Saint Venant のねじり解析を行なった結果を示す。

節点の数は、要素数と節点数の多少にかかわらず、あま -0.3
り変化はしない。また、Saint Venant のねじり定数 J
は要素の分割の多少で、3.1269 から 1.8584 まで変
化する。 $J = 1.8584$ は要素数 288、節点数 209 の分
割である。薄肉理論から求めた J の値は 1.5017 である。
また、形状係数を用いた式で求めた J は 1.9672 となる。

図2は、せん断応力 τ_{xy} に對応するせん断ひずみ γ_{xy} の分
布を 1/4 断面について示したものである。フランジとウェブ
を別々の長方形断面部材と考えた場合、フランジではその端
部を除いてせん断応力を τ_{xy} のみにする。そして、ウェブに
つけては τ_{xy} のみとなる。しかしながら、フランジとウェブ
を一つの部材と考えたとき、図2よりわかるように、ウェブ
の τ_{xy} が接合部のフランジ側に影響し、フランジに τ_{xy} を生
じさせている。また、せん断応力 τ_{xy} についても同様なこと
なことがいえる。つまり、これは、フランジとウェブを別々
の部材と考えるのは不都合であることを示している。

図3は、等ひずみ線図(等応力線図に對応)である。これ
から、フランジとウェブの接合部で応力集中が生じていることがわかる。
隅角部に曲率をつけると、この応力集中を避けることができる。

4. あとがき

本研究では、有限要素法による解析は弾性域だけにとどまつたが、今後
さらに非弾性域にも拡張されなければならぬ。また荷重についても、構
造物の設計などの際にねじりだけでは不十分であって、曲げまたは軸力を
も加えた達成荷重で解析を行なう必要がある。

参考文献

- 1) 川井忠彦・藤谷義信 “有限要素法による梁の剪断変形解析”
日本鋼構造協会第5回大会研究集会、マト
リックス構造解析法研究発表論文集。
P. P. 54 ~ 61
- 2) Timoshenko, S. and Goodier, J. N.
, Theory of Elasticity,
Mcgraw-Hill
P. P. 258 ~ 313

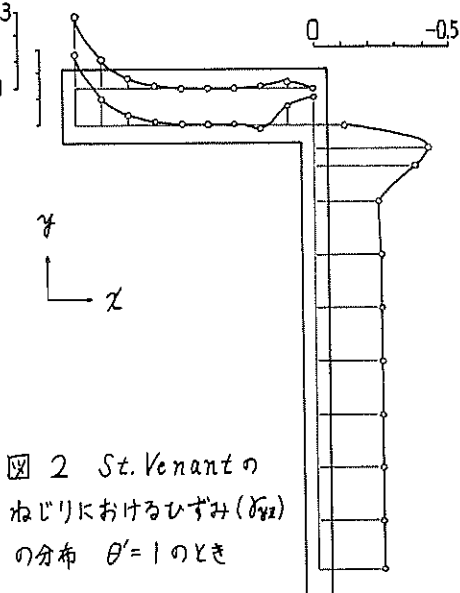


図2 Saint Venant の
ねじりにおけるひずみ (γ_{xy})
の分布 $\theta' = 1$ のとき

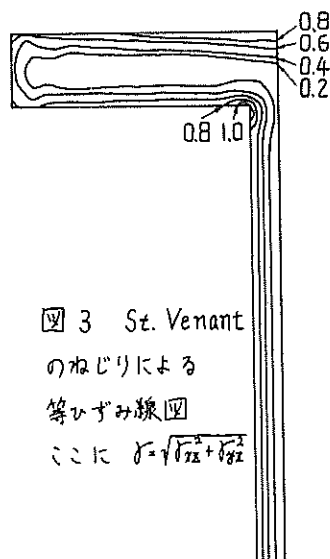


図3 Saint Venant
のねじりによる
等ひずみ線図
ここに $\theta = \sqrt{\theta_x^2 + \theta_y^2}$